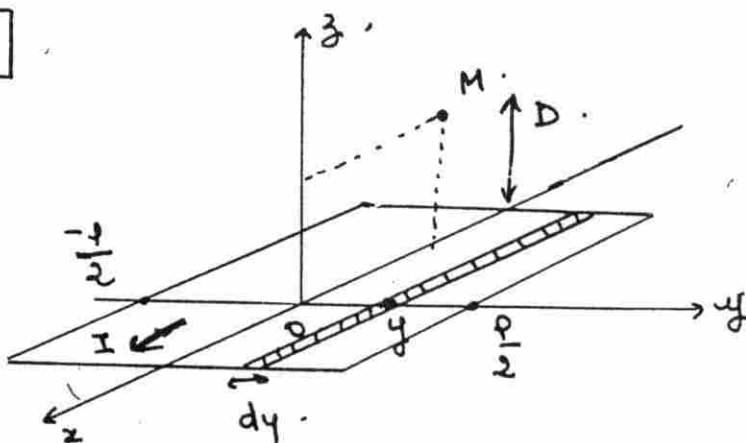


MS 101



on découpe la plaque en bandes très fines d'épaisseur $dy \ll p$. associées à des conducteurs filiformes portant le courant $dI = I \frac{dy}{p}$. La distance de cette bande au point M vaut

$$r = \sqrt{D^2 + y^2}$$

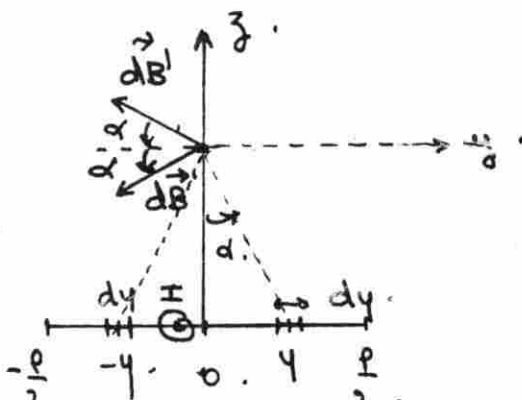
or: champ créé par un fil infini parcouru par un courant I

$$\vec{B}(M) = \frac{\mu_0 I}{2\pi r} \hat{z}$$

Vue de profil:

\vec{dB} créé par dy en y .

\vec{dB}' créé par dy en $-y$.



$$|dB| = |dB'| = \frac{\mu_0 dI}{2\pi \sqrt{y^2 + D^2}}$$

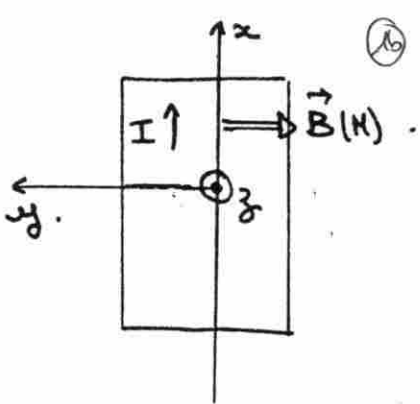
$\vec{dB} + \vec{dB}'$ || à \vec{z} par symétrie

Il suffit donc de calculer la composante de $\vec{B}(M)$ sur \vec{z} puisque par symétrie $\vec{B}(M) \parallel \vec{z}$.

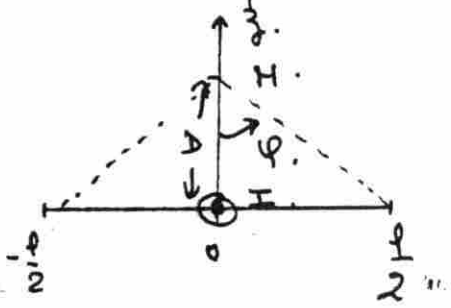
$$\vec{B} = \int_{-p/2}^{p/2} dB \Rightarrow B_z = \int_{-p/2}^{p/2} -\frac{\mu_0 dI}{2\pi \sqrt{D^2 + y^2}} \cos \alpha \quad \text{avec } \cos \alpha = \frac{D}{\sqrt{D^2 + y^2}}$$

$$\Rightarrow B_z = -\int_{-p/2}^{p/2} \frac{\mu_0 I}{2\pi D} \frac{dy}{(D^2 + y^2)} = -2 \frac{\mu_0 I D}{2\pi D} \left[\operatorname{arctan} \left(\frac{y}{D} \right) \right]_{0}^{p/2}$$

soit :
$$\vec{B}(H) = -\left(\frac{\mu_0 I}{\pi D}\right) \operatorname{Arctg}\left(\frac{D}{2D}\right) \vec{u}_y$$



à l'angle sous lequel, de H, on voit la nappe :



$$\operatorname{tg} \varphi = \frac{l}{2D}$$

$$\varphi = \operatorname{Arctg}\left(\frac{l}{2D}\right)$$

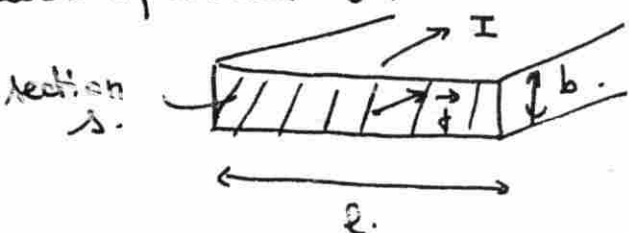
$$\Rightarrow \boxed{B(H) = \frac{\mu_0 I}{\pi D} \varphi}$$

AN: $I = 1 \text{ cm} \quad D = 2 \text{ cm} \Rightarrow \varphi = 0,24 \text{ rad.}$
 $\Rightarrow \boxed{B = 0,97 \cdot 10^{-4} \text{ T} = 0,97 \text{ Gauss.}}$

(20) si $l \rightarrow \infty$: lame infiniment fine.

[a] on a la densité surfacique de courant : $\vec{j}_s = \frac{I}{l} \vec{u}_x$
 (avec les axes choisis x, y, z) .

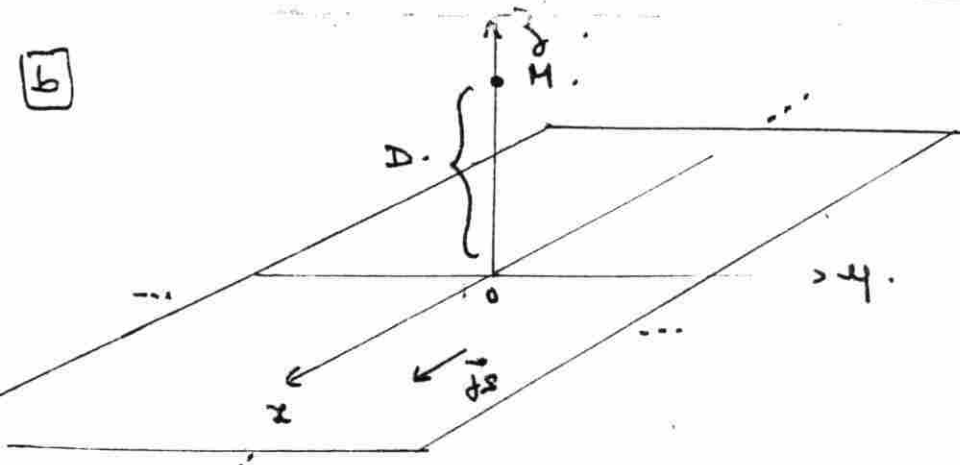
Var, schématiquement, si la nappe est un volume de très
 faible épaisseur b :



$$I = \vec{j} \cdot (\underbrace{bD}_{A}) \quad \text{et} \quad \vec{j}_s = \vec{j} \cdot \vec{b}$$

$$\Rightarrow \vec{I} = \vec{j}_s \cdot \vec{b} = I \vec{u}_x$$

$$\frac{l}{2D} \rightarrow \infty \Rightarrow \varphi \rightarrow \frac{\pi}{2} \quad \text{et} \quad \boxed{\vec{B} = -\frac{\mu_0 j_s}{2} \vec{u}_y}$$



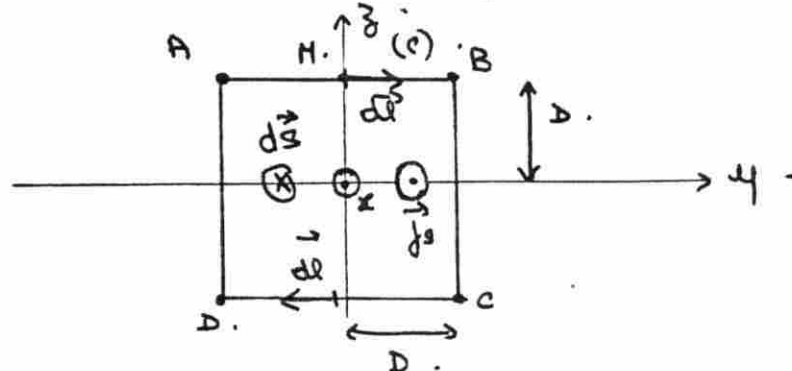
- plan (Oxz) plan de sym. de la distribution
 $\Rightarrow \vec{B} \perp$ à ce plan
 donc $\vec{B} = B \vec{u}_y$

• et invariance par translation le long de x et y . (e)

$$B = B(z)$$

- ensuite le plan oxy est plan de symétrie : alors si H' sym. de H par rapport à oxy : $\vec{B}(H') = -\vec{B}(H)$.

- Th. d'ampère sur un carré de côtés // à oxy et Oz , de longeur $2D$, de part et d'autre du plan oxy.

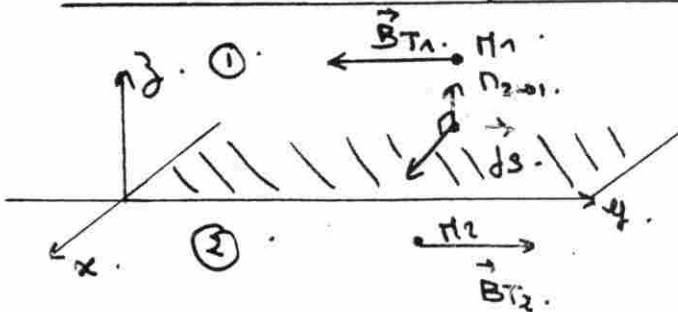


$$\oint_C \vec{B} \cdot d\vec{l} = \mu_0 \int_S \vec{j} \cdot d\vec{s} = -\mu_0 2D j_s = \int_{AB} \vec{B} \cdot d\vec{l} + \underbrace{\int_{BC} \vec{B} \cdot d\vec{l}}_{=0 \text{ car } B \perp d\vec{l}} + \underbrace{\int_{CP} \vec{B} \cdot d\vec{l}}_{=0} + \underbrace{\int_{DA} \vec{B} \cdot d\vec{l}}_{=0}$$

$$= B(H) \cdot 2D - (-B(H)) 2D = 4DB(H).$$

$$\Rightarrow \boxed{\vec{B}(H) = -\frac{\mu_0 j_s}{2} \vec{u}_y} \text{ pour } H \text{ au dessus. } \vec{B}(H') = -\vec{B}(H).$$

Discontinuité de \vec{B}_T à la traversée de la surface chargée :



$$\begin{aligned} \vec{B}_{T_1} &= -\frac{\mu_0 j_s}{2} \vec{u}_y \\ \vec{B}_{T_2} &= \frac{\mu_0 j_s}{2} \vec{u}_y \\ \Rightarrow \vec{B}_{T_1} - \vec{B}_{T_2} &= -\mu_0 j_s \vec{u}_y \end{aligned}$$

$$\text{ou abrégé : } \vec{B}_{T_1} - \vec{B}_{T_2} = \mu_0 j_s \wedge \vec{n}_{1 \rightarrow 2}$$

$$\begin{aligned} \mu_0 j_s \wedge \vec{n}_{1 \rightarrow 2} &= \mu_0 j_s \vec{u}_x \wedge \vec{u}_z \\ &= -\mu_0 j_s \vec{u}_y \end{aligned}$$

(30) Si $\ell \rightarrow 0$: lame infinitiment étroite alors $\varphi \rightarrow 0$.

$$(a) B = \left(\frac{\mu_0 I}{2\pi D} \right) \frac{\varphi}{\tan \varphi} \quad \tan \varphi \sim \varphi \text{ si } \varphi \rightarrow 0.$$

$$\text{d'où : } \boxed{\vec{B}_0 = -\frac{\mu_0 I}{2\pi D} \vec{u}_y} \quad \text{champ d'une fil rectiligne infini.}$$

b) Erreur relative commise sur le champ en l'approximant 26

$$\text{à } B_0 = \frac{\mu_0 I}{2\pi D}$$

$$\text{on a } B = \frac{\mu_0 I}{2\pi D} \left(\frac{4}{4 + \frac{4^3}{3} + \dots} \right) \approx \frac{\mu_0 I}{2\pi D} \left(1 - \frac{4^2}{3} + \dots \right)$$

$$|B - B_0| = \frac{\mu_0 I}{2\pi D} \left(\frac{4^2}{3} \right) \leq \frac{B_0}{100} = \frac{\mu_0 I}{2\pi D} \frac{1}{100}$$

$$\Rightarrow 4^2 \leq 0,03 \quad \text{soit, comme } 4 \approx \tan 4 = \frac{l}{2D}$$

$$\Rightarrow \boxed{l_{\max} = \frac{2 \times 12 D^2}{100}}$$

MES 102

10) Spécie: $B(z) = \frac{\mu_0 I a^2}{2} \frac{1}{(a^2 + z^2)^{3/2}}$ $z = \overline{OM}$

$$B_0 = \frac{\mu_0 I}{2a} \quad B(z) = B_0 \frac{a^3}{(a^2 + z^2)^{3/2}} \Rightarrow y(x) = \frac{a^3}{(a^2 + x^2)^{3/2}}$$

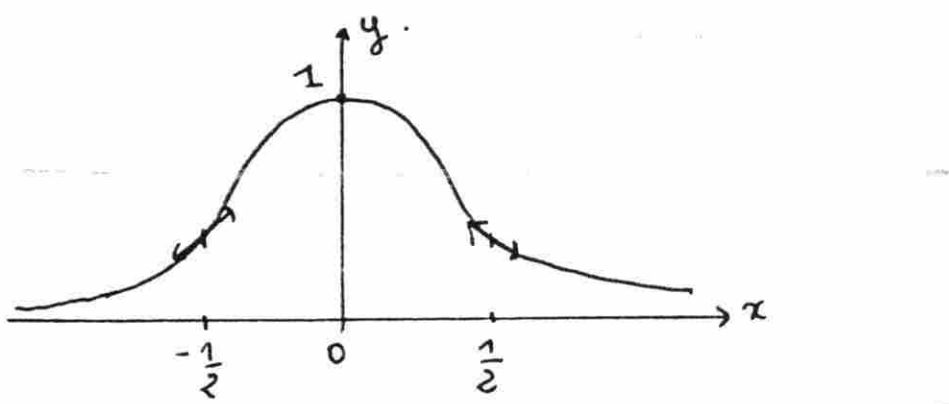
$$\text{en posant } x = \frac{\overline{OM}}{a}$$

$$\boxed{y(x) = \frac{1}{(1+x^2)^{3/2}}}$$

$$y'(x) = \frac{-3x}{(1+x^2)^{5/2}}$$

$$y''(x) = -\frac{3}{(1+x^2)^{5/2}} + \frac{3x(5x)}{(1+x^2)^{7/2}} = \frac{15x^2 - 3 - 3x^2}{(1+x^2)^{7/2}} = 3 \cdot \frac{4x^2 - 1}{(1+x^2)^{7/2}}$$

$$\boxed{\text{points d'inflexion: } x = \pm \frac{1}{2}}$$

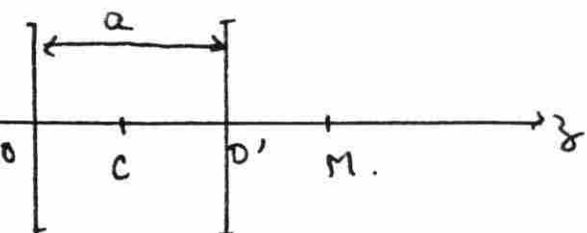


20) Bobines d'Helmholtz: $B = B_1 + B_2$

pour B_1 : on remplace z par $z + \frac{a}{2}$ donc x par $x + 1/2$

pour B_2 : " " " " " $z - \frac{a}{2}$ donc x par $x - 1/2$

(3)



$$y(x) = \frac{1}{(1 + (x + \frac{1}{2})^2)^{3/2}} + \frac{1}{(1 + (x - \frac{1}{2})^2)^{3/2}}$$

$$y'(x) = \frac{-3(x - 1/2)}{(1 + (x - \frac{1}{2})^2)^{5/2}} + \frac{-3(x + 1/2)}{(1 + (x + \frac{1}{2})^2)^{5/2}} \Rightarrow \underline{y'(0) = 0}.$$

$$y''(x) = 3 \cdot \frac{4(x - 1/2)^2 - 1}{(1 + (x - \frac{1}{2})^2)^{7/2}} + 3 \cdot \frac{4(x + 1/2)^2 - 1}{(1 + (x + \frac{1}{2})^2)^{7/2}} \Rightarrow \underline{y''(0) = 0}.$$

Autour du voisinage de 0 : $y(x)$ varie très peu (pt d'inflection à tangente horizontale)

$$B_C = B_0 \frac{a^3}{(a^2 + (-\frac{a}{2})^2)^{3/2}} + \frac{B_0 a^3}{(a^2 + (\frac{a}{2})^2)^{3/2}} \Rightarrow B_C = \frac{16\sqrt{5} B_0}{25}.$$

(30)
$$y(x) = \frac{B}{B_C} = \frac{25}{16\sqrt{5}} \left[\frac{1}{(1 + (x - \frac{1}{2})^2)^{3/2}} + \frac{1}{(1 + (x + \frac{1}{2})^2)^{3/2}} \right]$$

(40) DL au voisinage de 0 :

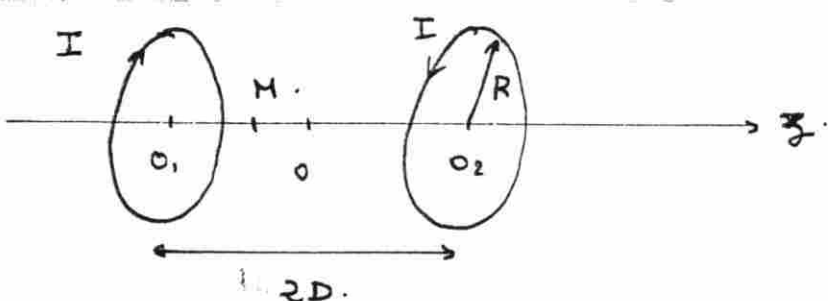
$$y(x) = 1 - 1,152 x^4 + o(x^6)$$

on cherche $x / |y(x) - 1| \cdot 10^{-3} \Rightarrow x = 0,17$

B champ reste constant au millième près sur 34%
de la longueur autour de C

MS 103

On redémontrerait le champ créé par une bobine (aire circulaire) en un point de son axe :

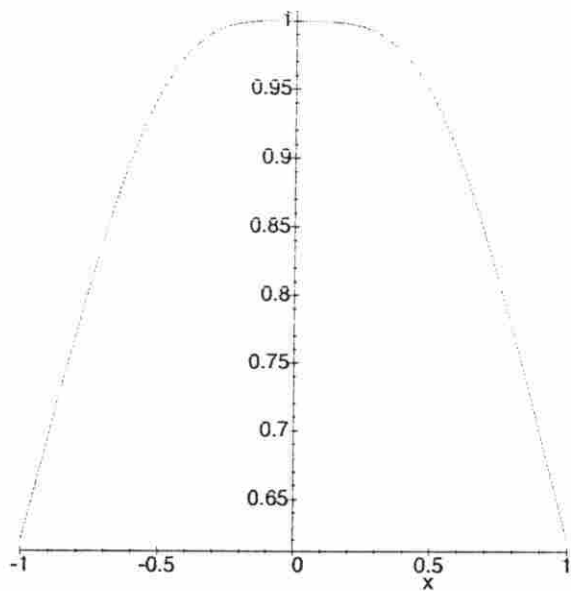


$$\vec{B}_2(z) = \frac{\mu_0 I}{2R} \frac{R^3}{(R^2 + (z-D)^2)^{3/2}} \hat{z}$$

STUDENT > $f := x \rightarrow (25/(16 \cdot 5^{0.5})) * ((1+(x-0.5)^2)^{-1.5} + (1+(x+0.5)^2)^{-1.5})$;

$$f := x \rightarrow \frac{.6987712428}{(1 + (x - .5)^2)^{1.5}} + \frac{.6987712428}{(1 + (x + .5)^2)^{1.5}}$$

STUDENT > $\text{plot}(f(x), x = -1..1);$



STUDENT > $\text{taylor}(f(x), x=0);$
 $.9999999990 - 1.152000000 x^4 + O(x^6)$

STUDENT >

$$\vec{B}_z(z) = -\frac{\mu_0 I}{2R} \frac{R^3}{(R^2 + (z+D)^2)^{3/2}} \vec{u}_z \quad \Rightarrow \text{ avec } B_0 = \frac{\mu_0 I}{2R} \quad (3b)$$

$$\Rightarrow B_z(z) = B_0 \left[\frac{R^3}{(R^2 + (z-D)^2)^{3/2}} - \frac{R^3}{(R^2 + (z+D)^2)^{3/2}} \right]$$

$$\left(\frac{dB_z}{dz} \right) = B_0 R^3 \left[-\frac{3}{2} \frac{(z-D) \times z}{(R^2 + (z-D)^2)^{5/2}} + \frac{\frac{3}{2} \times z \times (z+D)}{(R^2 + (z+D)^2)^{5/2}} \right].$$

$\left(\frac{dB_z}{dz} \right)_{z=0}$ est maximal = il vaut :

$$\left(\frac{dB_z}{dz} \right)_{z=0} = B_0 \frac{6DR^3}{(R^2 + D^2)^{5/2}}$$

Le gradient de champ est $\left(\frac{dB_z}{dz} \right) \vec{u}_z$. Pour $D = \frac{R}{2}$.

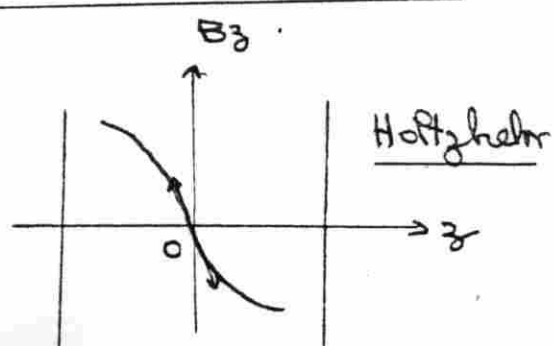
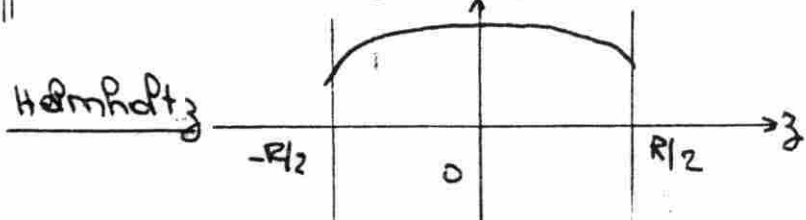
$$\text{en } z=0: \left(\frac{dB_z}{dz} \right)_{z=0} = B_0 \frac{96}{5^{5/2} R}.$$

gradient constant:

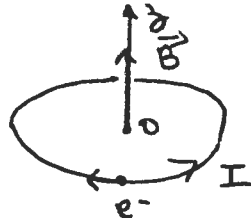
$$\frac{d^2 B_z}{dz^2} = 3B_0 R^3 \left[\frac{-(R^2 + (z-D)^2)^{3/2} + (z-D) \times \frac{3}{2} \times 2(z-D) (R^2 + (z-D)^2)^{3/2}}{(R^2 + (z-D)^2)^5} \right. \\ \left. + \frac{(R^2 + (z+D)^2)^{3/2} - (z+D) \times \frac{3}{2} \times 2(z+D) (R^2 + (z+D)^2)^{3/2}}{(R^2 + (z+D)^2)^5} \right]$$

$$\text{en } z=0: \frac{d^2 B_z}{dz^2} = \frac{3B_0 R^3}{(R^2 + D^2)^5} \left[-(R^2 + D^2)^{3/2} + (R^2 + D^2)^{3/2} \cdot 5D^2 - (R^2 + D^2)^{3/2} \times 5 \cdot D^2 \right] = 0.$$

on a bien un gradient maximal et n constant au voisinage de $z=0$: B_z .



MS 104



Le tour de l'électron sur son orbite est équivalent à une boucle de courant de centre O le noyau, de rayon a ,

$$\text{parcourue par : } I = \frac{e}{T} = \frac{e\omega}{2\pi} = \frac{ev}{2\pi a}.$$

Calcul de v : force électrostatique prépondérante :

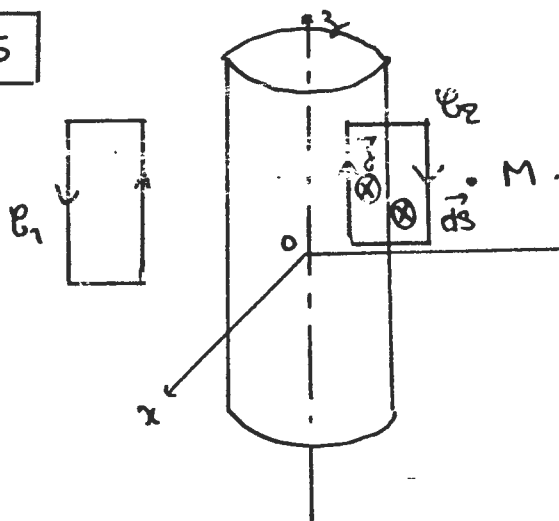
$$m\frac{v^2}{a} = \frac{e^2}{4\pi\epsilon_0 a} \Rightarrow v^2 = \frac{e^2}{4\pi\epsilon_0 ma} = \frac{\mu_0}{4\pi} \frac{e^2 c^2}{ma}.$$

Calcul de B :

$$B(0) = \frac{\mu_0 I}{2a} = \frac{\mu_0 e}{4\pi a^2} \sqrt{\frac{\mu_0}{4\pi}} \frac{ec}{\sqrt{ma}}$$

$$\Rightarrow B(0) = \left(\frac{\mu_0}{4\pi}\right)^{3/2} \frac{ec}{\sqrt{ma} a^2}$$

MS 105



$$\vec{\omega} = \omega \vec{u}_z$$

charge rotative ?

→ courants volumiques :

$$\vec{j} = \rho \vec{v} = r\rho \omega \vec{u}_r$$

⊕ le plan contenant $\vec{\omega}$ et $\perp \vec{u}_z$ est plan des symétries des courants :

$$\vec{B}(H) \parallel \vec{u}_z$$

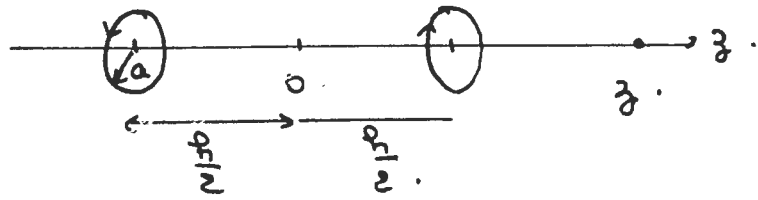
* th. d'Ampère: $\oint \vec{B} d\ell (P_2) \Rightarrow B(r_1) = B(r_2)$

$\Rightarrow \vec{B}$ uniforme à l'extérieur

$$\Rightarrow \vec{B}_{ext} = \vec{0}.$$

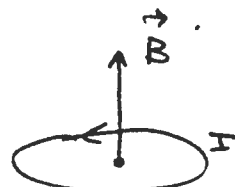
th d'Ampère : $\oint \vec{B} d\ell (P_2) \Rightarrow B(r_1)R = \mu_0 \int_{r_1}^a r dr j(r) = \int_{r_1}^a R \rho \omega r dr \mu_0$

$$\Rightarrow B(r_1) = \rho \omega R \left(\frac{a^2 - r_1^2}{2} \right) \cdot \Rightarrow \vec{B}_{int} = \underbrace{\frac{\rho \omega \mu_0}{2} (a^2 - r^2)}_{\sim} \vec{u}_z$$

$|z| > a \text{ et } R$ 

champ \vec{B} d'une spirale circulaire :

$$\vec{B}_\pm = \frac{\mu_0 I}{2a} \frac{a^3}{\sqrt{a^2 + (z \pm \frac{r}{2})^2}} \hat{z} \cdot \hat{m}_z$$



$$\vec{B} = \vec{B}_+ + \vec{B}_- = \frac{\mu_0 I}{2a} a^3 \left[\left(a^2 + z^2 + Rz + \frac{r^2}{4} \right)^{-3/2} - \left(a^2 + z^2 - Rz + \frac{r^2}{4} \right)^{-3/2} \right].$$

au 1^{er} ordre en $\frac{r}{z}$ ou $\frac{R}{z}$, il vient :

$$\vec{B} = -\frac{\mu_0 I}{2a} \frac{a^3}{3^3} \cdot \frac{-3\hat{r}}{3} \hat{u}_z .$$

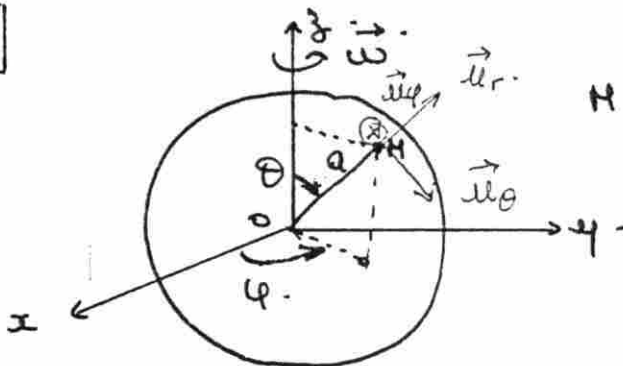
(55)

$$\Rightarrow B = \frac{3\mu_0 I}{2} \frac{a^3}{3^4}$$

Dipôle magnétique: déviation en $\frac{1}{r^3}$.

Jou quadrupôle: en $\frac{1}{r^4}$.

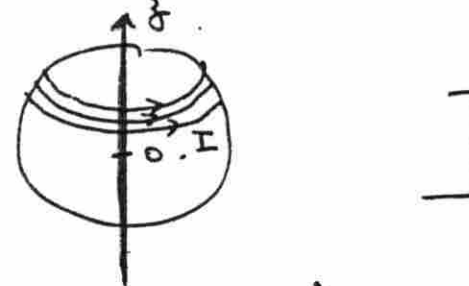
MS 107



H point de la surface $(r, \theta, \phi) = (a, \theta, \phi)$

- ④ La sphère est équivalente à une distribution superficielle de courant; de densité $\vec{j}_S^{(H)} = \sigma \vec{u}(H)$ avec $\vec{u} = \vec{\omega} \wedge \vec{OH} = a \omega \sin \theta \vec{u}_\theta$
- $$\vec{j}_S = \sigma a \omega \sin \theta \vec{u}_\theta$$

[tout se passe comme si la sphère était recouverte d'un bobinage \perp à l'axe z]



par définition: le moment magnétique \vec{m} de la sphère est alors:

$$\vec{m} = \frac{1}{2} \iint_S \vec{r}_n \vec{j}_S dS = \frac{1}{2} \iint_S \vec{r}_n \vec{u} dS.$$

$$\vec{r} = \vec{OH} = a \vec{u}_r \quad dS = a^2 \sin \theta d\theta d\phi. \text{ en coord. sphériques}$$

$$\Rightarrow \vec{m} = \frac{1}{2} a^3 \sigma a \omega \int_0^{2\pi} \int_0^\pi (\vec{u}_r, \vec{u}_\theta) \sin^2 \theta d\theta d\phi.$$

$$\vec{u}_\theta = \cos \theta \cos \phi \vec{u}_x + \cos \theta \sin \phi \vec{u}_y - \sin \theta \vec{u}_z$$

$$\text{alors: } M_x = \frac{1}{2} a^3 \sigma w a \underbrace{\int_0^{2\pi} -\cos \varphi d\varphi}_{=0} \int_0^\pi \cos \theta \sin^2 \theta d\theta .$$

$$M_y = \frac{1}{2} a^3 \sigma w a \underbrace{\int_0^{2\pi} -\sin \varphi d\varphi}_{=0} \int_0^\pi \cos \theta \sin^2 \theta d\theta .$$

$$M_z = \frac{1}{2} a^3 \sigma w \times 2\pi a \underbrace{\int_0^\pi \sin^3 \theta d\theta}_{= - \int_{-1}^1 (1-x^2) dx = \frac{4}{3}} .$$

$$\Rightarrow \vec{M} = \frac{1}{2} a^4 \sigma w \frac{8\pi}{3} \vec{w}_z \quad \text{ou} \quad \sigma = \frac{q}{4\pi a^2}$$

$$\text{d'où: } \boxed{\vec{M} = \frac{1}{3} a^2 w q \vec{w}_z = \frac{1}{3} q a^2 \vec{w}}$$

$$\textcircled{20} \quad \text{Biot et Savart: } \vec{B} = \frac{\mu_0}{4\pi} \oint_S \frac{\vec{ds} \wedge \vec{P_0}}{\|P_0\|^3} ds.$$

$$\begin{aligned} \vec{P_0} &= -\vec{w}_r \\ \vec{ds} &= \sigma a w \sin \theta \vec{w}_\varphi \end{aligned} \quad \left. \begin{aligned} \vec{ds} \wedge \vec{P_0} &= -\sigma a^2 w \sin \theta \vec{w}_\theta \\ ds &= a^2 \sin \theta d\theta d\varphi . \end{aligned} \right.$$

$$\Rightarrow \vec{B} = \frac{\mu_0}{4\pi} \frac{\sigma a^4 w}{a^3} \underbrace{\int_0^{2\pi} \int_0^\pi + \sin^3 \theta \vec{w}_\theta}_{\text{déjà calculé en } \textcircled{10} : = + \frac{8\pi}{3} \vec{w}_z} .$$

$$\text{et } \sigma = \frac{q}{4\pi a^2} \quad \boxed{\vec{B}(0) = \frac{\mu_0}{6\pi} \frac{q \vec{w}}{a}} .$$

$$\textcircled{20} \quad \text{loi de Biot et Savart: } \vec{A}(M) = \frac{\mu_0}{4\pi} \oint_S \frac{\vec{ds} \cdot \vec{ds}}{\|PM\|} .$$

$$\text{et } \vec{ds} = \sigma \vec{v} = \frac{q}{4\pi a^2} \vec{w} \wedge \vec{OP} \quad \text{d'où}$$

$$\vec{A}(M) = \frac{\mu_0 q}{16\pi^2 a^2} \oint_S \frac{\vec{w} \wedge \vec{OP} ds}{\|PM\|} = \frac{\mu_0 q}{16\pi^2 a^2} \vec{w} \wedge \oint_S \frac{a \vec{ds}}{\|PM\|} \quad \text{car } \vec{OP} \parallel \vec{ds}$$

$$\vec{A}(M) = \frac{\mu_0 q}{16\pi^2 a} \vec{w} \wedge \left| \int_V \frac{q \vec{ad}\rho}{\|PM\|} \frac{1}{\|PM\|} dG \right| .$$

$$\vec{A}(M) = -\frac{\mu_0 q}{16\pi r^2} \cdot \vec{\omega}_n \vec{k} \quad \text{avec} \quad \vec{k} = \iiint_V \frac{\rho \vec{PM} dG}{\|\vec{PM}\|^3}$$

Si $\vec{E}(M)$ est le champ créé en M par unesphère (V) de centre O de rayon a, chargée uniformément en volume ($\rho = \frac{3q}{4\pi r^3}$)

$$\vec{E}(M) = \frac{1}{4\pi \epsilon_0} \iiint_V \frac{\rho \vec{PM} dG}{\|\vec{PM}\|^3} = \frac{3q}{16\pi^2 \epsilon_0 a^3} \vec{k}$$

Donc \vec{k} se calcule en calculant $\vec{E}(M)$ par le th. de Gauss :

$$\rightarrow \text{à l'extérieur : } \vec{E}_p(M) = \frac{q}{4\pi \epsilon_0 r^2} \vec{u}_r \quad \vec{u}_r = \frac{\vec{OM}}{\|\vec{OM}\|} \text{ et } r = \|\vec{OM}\|$$

$$\text{d'où } \vec{k}_p = \frac{16\pi^2 \epsilon_0 a^3}{3q} \cdot \frac{q}{4\pi \epsilon_0 r^2} \vec{u}_r = \frac{4\pi a^3}{3r^2} \vec{u}_r$$

$$\rightarrow \text{à l'intérieur : } \vec{E}_i(M) = \frac{qr}{4\pi \epsilon_0 a^3} \vec{u}_r$$

$$\text{d'où } \vec{k}_i = \frac{16\pi^2 \epsilon_0 a^3}{3q} \cdot \frac{qr}{4\pi \epsilon_0 a^3} \vec{u}_r = \frac{4\pi r}{3} \vec{u}_r = \frac{4\pi}{3} \vec{OM}$$

D'où : \rightarrow à l'intérieur de la sphère :

$$\vec{A}_i(M) = -\frac{\mu_0 q}{12\pi r^2} \vec{\omega}_n \vec{OM}$$

Le potentiel-vecteur d'un champ uniforme \vec{B}_0 est. $\frac{-\vec{B}_0}{2} r^2$

Donc à l'intérieur, on a un champ \vec{B}_i uniforme égal

$$\textcircled{*} \quad \vec{B}(0) = \frac{\mu_0 q \vec{\omega}}{6\pi r^2}$$

$$\rightarrow \text{à l'extérieur : } \vec{A}_e(M) = \frac{a^2 \mu_0 q}{12\pi r^2} \vec{\omega}_n \vec{u}_r = \frac{a^2 \mu_0 q}{12\pi} \vec{\omega}_n \frac{\vec{OM}}{\|\vec{OM}\|^3}$$

pot-vecteur du dipôle magnétique de moment $\vec{J}_b = \frac{1}{3} q a^2 \vec{\omega}$

$$\left\{ \begin{array}{l} \vec{B}_1 \text{ à l'intérieur du tore : } \vec{B}_1 = \frac{\mu_0 N_1 I_1}{2\pi r} \hat{r} \\ (\text{du à } I_1) \end{array} \right. \quad \vec{B}_2 \text{ du à } I_2 : \quad \vec{B}_2 = \frac{\mu_0 N_2 I_2}{2\pi r} \hat{r}$$

à distance r de l'axe

déjà vu (exercice de cours).

Φ_1 flux de \vec{B}_1 à travers les N_1 spires du primaire :

$$d\Phi_1 = \frac{\mu_0 N_1 I_1}{2\pi r} \cdot \underbrace{2\pi N_1 dr}_{ds} \Rightarrow \Phi_1 = \frac{\mu_0 N_1^2 a}{\pi} \ln\left(\frac{R+a}{R-a}\right) I_1$$

d'où :

$$L_1 = \frac{\mu_0 a N_1^2}{\pi} \ln\left(\frac{R+a}{R-a}\right)$$

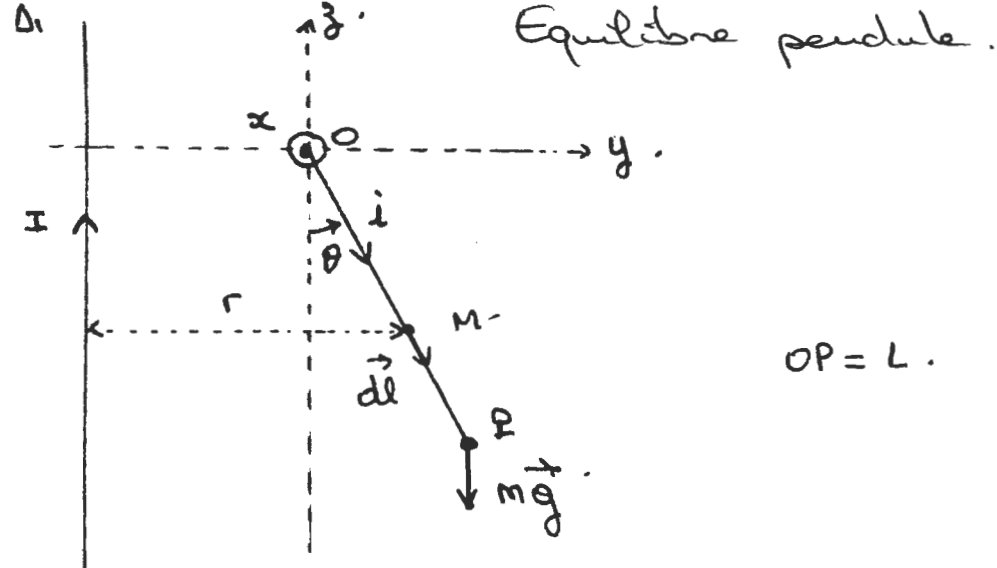
de même :

$$L_2 = \frac{\mu_0 a N_2^2}{\pi} \ln\left(\frac{R+a}{R-a}\right)$$

et on a $d\Phi_{1 \rightarrow 2} = \frac{\mu_0 N_1 I_1}{2\pi r} 2\pi N_2 dr \Rightarrow \Phi_{1 \rightarrow 2} = \frac{\mu_0 a N_1 N_2}{\pi} \ln\left(\frac{R+a}{R-a}\right) I_1$

$$\Rightarrow |M| = \frac{\mu_0 a N_1 N_2}{\pi} \ln\left(\frac{R+a}{R-a}\right), \quad \text{on a : } |M| = \sqrt{L_1 L_2}$$

couplage parfait



$$OP = L.$$

a) force de Laplace: $\vec{dF} = i \vec{dl} \wedge \vec{B}$
 moment en O : $\vec{dr}_0 = i \vec{or}_0 \wedge (\vec{dl} \wedge \vec{B})$.

$$\hat{B} = \vec{B} \text{ créée par le fil} = -\frac{\mu_0 I}{2\pi r} \hat{x}$$

$$OM = l \quad 0 \leq \theta \leq L \quad \text{et} \quad r = a + P \sin \theta$$

$$d\vec{l} = dl (\sin \theta \vec{u}_y - \cos \theta \vec{u}_z) \quad \text{et} \quad \vec{OM} = l (\sin \theta \vec{u}_y - \cos \theta \vec{u}_z)$$

$$\vec{dl} \wedge \vec{B} = + \frac{\mu_0 I}{2\pi r} dl (\vec{u}_z \sin \theta + \cos \theta \vec{u}_y)$$

$$\vec{OM} \cdot (\vec{dl} \wedge \vec{B}) = \frac{\mu_0 I}{2\pi r} l dl \begin{vmatrix} 0 & \sin \theta & -\cos \theta \\ \sin \theta & 0 & \sin \theta \\ -\cos \theta & -\sin \theta & 0 \end{vmatrix} = \frac{\mu_0 I}{2\pi r} l dl \begin{vmatrix} 1 & 0 & 0 \\ 0 & 0 & 0 \\ 0 & 0 & 0 \end{vmatrix}$$

$$\Rightarrow \vec{dl}_0 = \frac{\mu_0 I}{2\pi} \frac{P dl}{a + l \sin \theta} \vec{u}_x$$

$$\Rightarrow \vec{l}_0 = \frac{\mu_0 I l}{2\pi} \int_0^L \frac{l dl}{a + l \sin \theta} \vec{u}_x$$

boomerang

$$\frac{I}{a + x \sin \theta} = \frac{1}{\sin \theta} \left(1 - \frac{a}{a + x \sin \theta} \right)$$

Intégration par parties : $u = l$

$$u' = 1.$$

$$v' = \frac{1}{a + l \sin \theta}$$

$$v = \frac{1}{\sin \theta} \ln(a + l \sin \theta).$$

$$\int_0^L \frac{l dl}{a + l \sin \theta} = \left[\frac{l}{\sin \theta} \ln(a + l \sin \theta) \right]_0^L - \int_0^L \frac{1}{\sin \theta} \ln(a + l \sin \theta) dl.$$

$$= \frac{L}{\sin \theta} \ln(a + L \sin \theta) - \frac{1}{\sin^2 \theta} [(a + L \sin \theta) \ln(a + L \sin \theta) - (a + L \sin \theta)]$$

$$= \frac{L}{\sin \theta} \ln(a + L \sin \theta) - \frac{1}{\sin^2 \theta} [(a + L \sin \theta) (\ln(a + L \sin \theta) - 1) - a (\ln a - a)]$$

$$= \frac{L \sin \theta \ln(a + L \sin \theta) - (a + L \sin \theta) \ln(a + L \sin \theta) + L \sin \theta + a \ln a}{\sin^2 \theta}.$$

$$= \frac{-a \ln(a + L \sin \theta) + L \sin \theta + a \ln a}{\sin^2 \theta}$$

$$\Rightarrow \vec{l}_0 = \frac{\mu_0 I l}{2\pi \sin^2 \theta} \left[L \sin \theta - a \ln \left(1 + \frac{1}{a} \sin \theta \right) \right] \vec{u}_x$$

b) Géométrie du mouvement cinétique vers à (OP) :

$$\left(\frac{d\vec{l}_0}{dt} \right) = \vec{0} = \vec{l}_0 + \vec{OP} \wedge \vec{mg} = \vec{l}_0 - mgL \sin \theta \vec{u}_x$$

$$\Rightarrow \frac{\mu_0 I l}{2\pi \sin^2 \theta} \left[L \sin \theta - a \ln \left(1 + \frac{1}{a} \sin \theta \right) \right] = mgL \sin \theta.$$

θ et $\sin\theta$ petits et de la même ordre de grandeur:

$$\ln\left(1 + \frac{L}{a}\sin\theta\right) \approx \frac{L}{a}\sin\theta - \frac{1}{2} \frac{L^2}{a^2}\sin^2\theta + \frac{L^3}{3a^3}\sin^3\theta + \dots$$

$$\Rightarrow \vec{F}_0 \approx \frac{\mu_0 I i}{2\pi \sin^2\theta} \left[\frac{L^2}{2a} \sin^2\theta - \frac{L^3}{3a^2} \sin^3\theta + \dots \right] = mgL \sin\theta$$

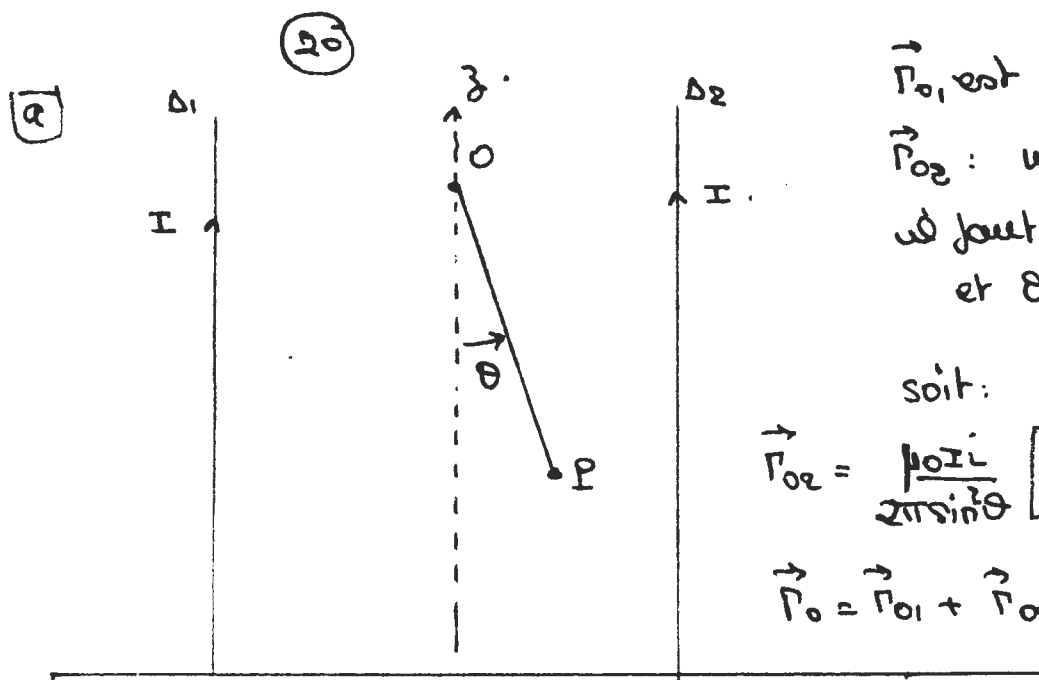
$$\Rightarrow \frac{\mu_0 I i}{2\pi} \left[\frac{L^2}{2a} - \frac{L^3}{3a^2} \sin\theta \right] = mgL \sin\theta$$

$$\Rightarrow \boxed{\theta \approx \sin\theta = -\frac{1}{\frac{2}{3} \frac{L}{a} + \frac{4mg\alpha\pi}{\mu_0 I i L}}}$$

c) $\frac{d\theta}{da} = 0 \Leftrightarrow \frac{d}{da} \left[\frac{2}{3} \frac{L}{a} + \frac{4\pi mg}{\mu_0 I i L} a \right] = 0$
 $\Leftrightarrow -\frac{2}{3} \frac{L}{a^2} + \frac{4\pi mg}{\mu_0 I i L} = 0 \Leftrightarrow a_m = L \sqrt{\frac{\mu_0 I i}{6\pi mg}}$

sous: $a_m = \frac{a}{\frac{2}{3} \frac{L}{a} + \frac{4\pi mg a_m^2}{\mu_0 I i L}} \Rightarrow a_m = \frac{3a_m}{4L}$ soit $a_m = \frac{3}{4} \sqrt{\frac{\mu_0 I i}{6\pi mg}}$

RN: $a_m = 0,122 \text{ rad} \approx 7^\circ$



\vec{F}_{01} est celui calculé au (10).
 \vec{F}_{02} : même calcul mais
 il faut changer \vec{u}_x en $-\vec{u}_x$
 et θ en $-\theta$.

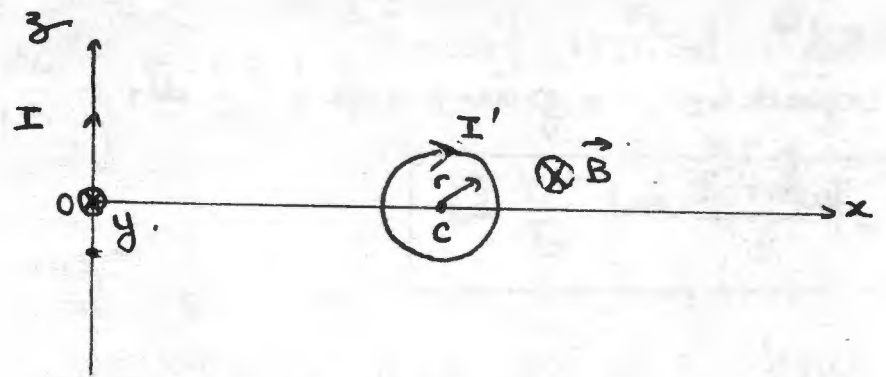
soit:

$$\vec{F}_{02} = \frac{\mu_0 I i}{2\pi \sin^2\theta} \left[L \sin\theta + a \ln\left(1 - \frac{L}{a} \sin\theta\right) \right] \vec{u}_x$$

$$\vec{F}_0 = \vec{F}_{01} + \vec{F}_{02} \quad \text{d'où:}$$

$$\boxed{\vec{F}_0 = \frac{\mu_0 I i}{2\pi \sin^2\theta} \left[2L \sin\theta - a \ln\left(\frac{a + L \sin\theta}{a - L \sin\theta}\right) \right] \vec{u}_x}$$

⑩



$$\vec{B} \text{ créé par le fil : } \vec{B} = \frac{\mu_0 I}{2\pi x} \hat{u}_z$$

Si $x \gg r$: \vec{B} est uniforme sur toute la surface (S) de la bobine

$$\Rightarrow \Phi = nS\vec{B} = n\pi r^2 \frac{\mu_0 I}{2x} = NI.$$

$$\Rightarrow M = \frac{\mu_0 n r^2}{2x}$$

⑪

$\parallel \delta\Phi_{\text{op}} = -id\Phi_c$ flux coupé par le circuit lors du déplacement. (Loi de Maxwell).

$d\Phi_c =$ flux de \vec{B} à travers la surface engendrée par le circuit lors du déplacement de dd .

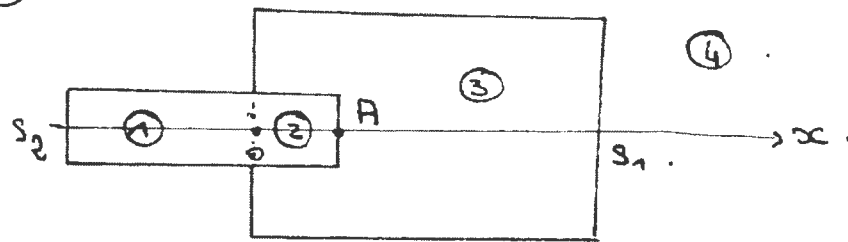
= $d\Phi$ variation de flux de \vec{B} à travers (S)

a.

MS

10

Autocapacitance
de 2 solénoïdes.



Domaine 1 : $\vec{B} = \vec{B}_2 = \mu_0 \frac{N_2}{a_2} I_2 \hat{u}_x$

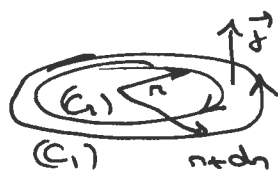
Domaine 2 : $\vec{B} = \vec{B}_2 + \vec{B}_1 = \mu_0 \left(\frac{N_1 I_1}{a_1} + \frac{N_2 I_2}{a_2} \right) \hat{u}_x$

Domaine 3 : $\vec{B} = \vec{B}_1 = \mu_0 \frac{N_1}{a_1} I_1 \hat{u}_x$

Domaine 4 : $\vec{B} = \vec{B}_4 = \vec{0}$

Densité de courant associée à un champ dans'

- On prend 2 cercles de rayons n et $n+dn$ orientés comme ci-dessous : \vec{j} est un \vec{e}_y car \vec{B} est un \vec{e}_x (\vec{B} s'élargit autour de \vec{j})



Th. d'Ampère à $\{C_1 \cup C_2\}$:

$$B(n+dn) \cdot 2\pi(n+dn) - B(n) \cdot 2\pi n = \mu_0 j \cdot 2\pi n dn$$

$$\Rightarrow \frac{d(nB(n))}{dn} \cdot 2\pi dn = \mu_0 j \cdot 2\pi n dn$$

$$\Rightarrow \vec{j} = \frac{1}{n} \frac{d(nB(n))}{dn} \vec{e}_y \quad (\text{avec Maxwell } \vec{\nabla} \cdot \vec{B} = \mu_0 \vec{j})$$

$n > a$: $\vec{j}_{ext} = \vec{0}$

$0 < n < a$: $\vec{j}_{int} = \frac{1}{n} \frac{d}{dn} \left(B_0 \frac{\pi^2}{a^3} e^{-\frac{n}{a}} \right) \vec{e}_y = \frac{B_0}{\mu_0 a^3} e^{-\frac{n}{a}} \left(2 - \frac{n}{a} \right) \vec{e}_y$

- relation de passage :

$$\vec{B}_2 - \vec{B}_1 = \mu_0 \vec{j}_S \wedge \vec{m}_1 \vec{z}$$

② → ext

① → int

$$0 - \frac{B_0}{a} \vec{e}_y = \mu_0 \vec{j}_S \wedge \vec{e}_z \Rightarrow \vec{j}_S = \frac{B_0}{\mu_0 a} \vec{e}_y$$